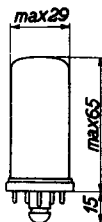
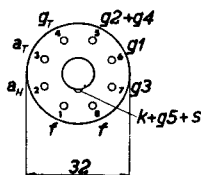
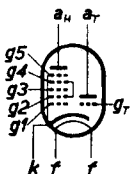


TRIODE-HEPTODE for use as frequency converter, H.F., I.F. and L.F. amplifier and phase inverter  
 TRIODE-HEPTODE pour utilisation comme changeuse de fréquence, amplificatrice H.F., M.F. et B.F. et comme tube inverseur de phase  
 TRIODE-HEPTODE zur Verwendung als Mischröhre, H.F.-, Z.F.- und N.F. Verstärker und als Phasenumkehrrohre

Heating: indirect by A.C. or D.C.;  
 series supply  
 Chauffage: indirect par C.A. ou C.C.; Vf = 20 V  
 alimentation en série If = 0,100 A  
 Heizung: indirekt durch Wechsel-  
 oder Gleichstrom;  
 Serienspeisung

Dimensions in mm  
 Dimensions en mm  
 Abmessungen in mm



Capacities  
 Capacités  
 Kapazitäten

Heptode section  
 Partie heptode  
 Heptodenteil

Triode section  
 Partie triode  
 Triodenteil

$C_{g1} = 6,5 \text{ pF}$

$C_g = 3,8 \text{ pF}$

$C_a = 8 \text{ pF}$

$C_a = 3,1 \text{ pF}$

$C_{ag1} < 0,002 \text{ pF}$

$C_{ag} = 1,1 \text{ pF}$

$C_{g3} = 8 \text{ pF}$

$C_{gk} = 2,7 \text{ pF}$

$C_{glg3} < 0,3 \text{ pF}$

$C_{ak} = 1,6 \text{ pF}$

$C_{glf} < 0,007 \text{ pF}$

$C_{gf} < 0,1 \text{ pF}$

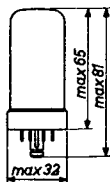
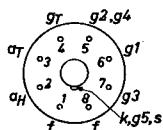
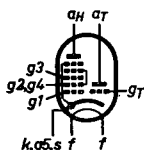
TRIODE-HEPTODE for use as frequency changer, R.F., I.F. or A.F. amplifier and phase inverter

TRIODE-HEPTODE pour utilisation en changeuse de fréquence, amplificatrice H.F., M.F. ou B.F. et comme tube inverseur de phase

TRIODE-HEPTODE zur Verwendung als Mischröhre, HF-, ZF- oder NF-Verstärker und als Phasenumkehrrohre

Heating : indirect; series supply  $V_f = 20$  V  
 Chauffage: indirect; alimentation- série  $I_f = 100$  mA  
 Heizung : indirekt; Serienspeisung

Dimensions in mm  
 Dimensions en mm  
 Abmessungen in mm



Base, culot, Sockel: Octal 8p.

Capacitances Capacités Kapazitäten	Heptode section Partie heptode Heptodenteil	Triode section Partie triode Triodenteil
	$C_{g1} = 6,5$ pF	$C_g = 3,8$ pF
	$C_a = 8$ pF	$C_a = 3,1$ pF
	$C_{ag1} < 0,002$ pF	$C_{ag} = 1,1$ pF
	$C_{g3} = 8$ pF	$C_{gk} = 2,7$ pF
	$C_{g1g3} < 0,3$ pF	$C_{ak} = 1,6$ pF
	$C_{g1f} < 0,007$ pF	$C_{gf} < 0,1$ pF

Between heptode and triode sections  
 Entre les parties heptode et triode  
 Zwischen Heptoden- und Triodenteil

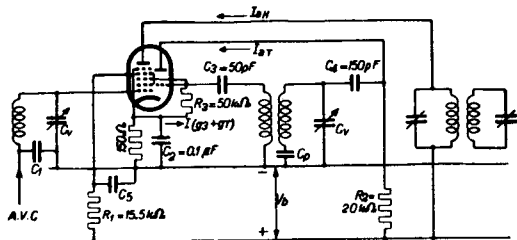
$C_{gTg1H}$	$< 0,1$ pF
$C_{gT+g3}$	$= 12,3$ pF
$C_{(gT+g3)g1H}$	$< 0,35$ pF
$C_{(gT+g3)eH}$	$< 0,1$ pF

Capacities Between heptode and triode sections  
 Capacités Entre les parties heptode et triode  
 Kapazitäten Zwischen Heptoden- und Triodenteil

$C_{gTg1H} < 0,1 \text{ pF}$   
 $C_{gT+g3} = 12,3 \text{ pF}$   
 $C(gT+g3)g1H < 0,35 \text{ pF}$   
 $C(gT+g3)aH < 0,1 \text{ pF}$

Operating characteristics of the heptode section as frequency converter ( $g3$  connected to  $gT$ )  
 Caractéristiques d'utilisation de la partie heptode comme changeuse de fréquence ( $g3$  reliée à  $gT$ )  
 Betriebsdaten des Heptodenteiles als Mischröhre ( $g3$  verbunden mit  $gT$ )

$V_a=V_b$	=	100		200		V
$R_{g2+g4}$	=	15,5		15,5		k $\Omega$
$R_k$	=	150		150		$\Omega$
$R_{g3+gT}$	=	50		50		k $\Omega$
$I_{g3+gT}$	=	95		190		$\mu\text{A}$
$V_{g1}$	=	-1	-14	-2	-28	V
$V_{g2+g4}$	=	53	100	100	200	V
$I_a$	=	1,5	-	3,5	-	mA
$I_{g2+g4}$	=	3	-	6,5	-	mA
$S_c$	=	580	5,8	750	7,5	$\mu\text{A}/\text{V}$
$R_i$	=	1,0	> 10	1,0	> 10	M $\Omega$
$R_{eq}$	=	40	-	55	-	k $\Omega$



Operating characteristics of the heptode section as frequency changer ( $g_3$  connected to  $g_T$ )  
 Caractéristiques d'utilisation de la partie heptode en changeuse de fréquence ( $g_3$  reliée à  $g_T$ )  
 Betriebsdaten des Heptodenteiles als Mischröhre ( $g_3$  verbunden mit  $g_T$ )

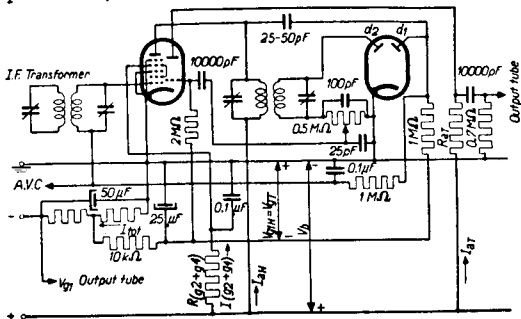
$V_a=V_b$	=	100		200		V
$R_{g2,g4}$	=	15,5		15,5		k $\Omega$
$R_K$	=	150		150		$\Omega$
$R_{g3+gT}$	=	50		50		k $\Omega$
$I_{g3+gT}$	=	95		190		$\mu A$
$V_{g1}$	=	-1	-14	-2	-28	V
$V_{g2,g4}$	=	53	100	100	200	V
$I_a$	=	1,5	-	3,5	-	mA
$I_{g2,g4}$	=	3	-	6,5	-	mA
$S_c$	=	580	5,8	750	7,5	$\mu A/V$
$R_i$	=	1,0	>10	1,0	>10	M $\Omega$
$R_{eq}$	=	40	-	55	-	k $\Omega$

Operating characteristics of the heptode section as I.F. amplifier ( $g_3$  disconnected from  $g_T$ )  
 Caractéristiques d'utilisation de la partie heptode en amplificatrice M.F. ( $g_3$  non reliée à  $g_T$ )  
 Betriebsdaten des Heptodenteiles als ZF-Verstärker ( $g_3$  frei von  $g_T$ )

$V_a = V_b$	=	100		200		V		
$V_{g3}$	=	0		0		V		
$R_{g2,g4}$	=	30		30		k $\Omega$		
$V_{g1}$	=	-1,0	-15	-20	-2,0	-28	-36	V
$V_{g2,g4}$	=	50	-	98	94	-	200	V
$I_a$	=	2,6	-	-	5,2	-	-	mA
$I_{g2,g4}$	=	1,9	-	-	3,5	-	-	mA
$S$	=	2000	20	2,0	2200	22	2,2	$\mu A/V$
$R_i$	=	0,7	>10	>10	0,7	>10	>10	M $\Omega$
$\mu_{g2g1}$	=	19	-	-	19	-	-	
$R_{eq}$	=	4,9	-	-	9	-	-	k $\Omega$

Operating characteristics of the heptode section as I.F. amplifier ( $g_3$  disconnected from  $gT$ )  
 Caractéristiques d'utilisation de la partie heptode comme amplificateur M.F. ( $g_3$  non reliée à  $gT$ )  
 Betriebsdaten des Heptodenteiles als Z.F.Verstärker ( $g_3$  frei von  $gT$ )

$V_a = V_b =$	100		200		V		
$V_{g3} =$	0		0		V		
$R_{g2+g4} =$	30		30		k $\Omega$		
$V_{g1} =$	-1,0	-15	-20	-2,0	-28	-36	V
$V_{g2+g4} =$	50	-	98	94	-	200	V
$I_a =$	2,6	-	-	5,2	-	-	mA
$I_{g2+g4} =$	1,9	-	-	3,5	-	-	mA
$S =$	2000	20	2,0	2200	22	2,2	$\mu A/V$
$R_i =$	0,7	>10	>10	0,7	>10	>10	M $\Omega$
$\mu_{g2g1} =$	19	-	-	19	-	-	
$R_{eq} =$	4,9	-	-	9	-	-	k $\Omega$



Typical characteristics of the triode section  
 Caractéristiques typiques de la partie triode  
 Kenndaten des Triodenteiles

$V_a =$	100 V
$V_g =$	0 V
$I_a =$	12 mA
$S =$	3,2 mA/V
$\mu =$	19

Typical characteristics of the triode section  
 Caractéristiques types de la partie triode  
 Kenndaten des Triodenteiles

$V_a$	=	100 V
$V_g$	=	0 V
$I_a$	=	12 mA
S	=	3,2 mA/V
$\mu$	=	19

Operating characteristics of the triode section as oscillator ( $g_3$  connected to  $g_T$ )  
 Caractéristiques d'utilisation de la partie triode en oscillatrice ( $g_3$  reliée à  $g_T$ )  
 Betriebsdaten des Triodenteiles als Oszillator ( $g_3$  verbunden mit  $g_T$ )

$V_b$	=	100	200 V
$R_a$	=	20	20 k $\Omega$
$R_{gT+g_3}$	=	50	50 k $\Omega$
$I_{gT+g_3}$	=	95	190 $\mu$ A
$I_a$	=	1,9	4,1 mA
$S_{eff}$	=	0,44	0,45 mA/V

Operating characteristics of the triode section as A.F. amplifier with resistance coupling ( $g_T$  disconnected from  $g_3$ )  
 Caractéristiques d'utilisation de la partie triode en amplificatrice B.F. avec couplage à résistances ( $g_T$  non reliée à  $g_3$ )  
 Betriebsdaten des Triodenteiles als NF-Verstärker mit Widerstandskopplung ( $g_T$  frei von  $g_3$ )

$V_b$ (V)	$R_a$ (M $\Omega$ )	$V_g$ (V)	$I_a$ (mA)	$V_o$ ( $V_{eff}$ )	$\frac{V_o}{V_i}$	$d_{tot}$ (%)
200	0,2	-2	0,8	7,5	10	2,8
100	0,2	-1	0,37	7,5	10	6,0
200	0,1	-2	1,5	7,5	10,5	2,8
100	0,1	-1	0,68	7,5	10,5	5,8
200	0,05	-2	2,8	7,5	11	2,2
100	0,05	-1	1,3	7,5	11	5,4

Operating characteristics of the triode section as oscillator ( $g_3$  connected to  $g_T$ )  
 Caractéristiques d'utilisation de la partie triode comme oscillatrice ( $g_3$  reliée à  $g_T$ )  
 Betriebsdaten des Triodenteiles als Oszillator ( $g_3$  verbunden mit  $g_T$ )

$V_b$	=	100	200 V
$R_a$	=	20	20 k $\Omega$
$R_{gT+g_3}$	=	50	50 k $\Omega$
$I_{gT+g_3}$	=	95	190 $\mu$ A
$I_a$	=	1,9	4,1 mA
$S_{eff}$	=	0,44	0,45 mA/V

Operating characteristics of the triode section as L.F. amplifier with resistance coupling ( $g_T$  disconnected from  $g_3$ )  
 Caractéristiques d'utilisation de la partie triode comme amplificatrice B.F. avec couplage à résistances ( $g_T$  non reliée à  $g_3$ )  
 Betriebsdaten des Triodenteiles als N.F. Verstärker mit Widerstandskopplung ( $g_T$  frei von  $g_3$ )

$V_b$ (V)	$R_a$ (M $\Omega$ )	$V_g$ (V)	$I_a$ (mA)	$V_o$ ( $V_{eff}$ )	$\frac{V_o}{V_i}$	$d_{tot}$ (%)
200	0,2	-2	0,8	7,5	10	2,8
100	0,2	-1	0,37	7,5	10	6,0
200	0,1	-2	1,5	7,5	10,5	2,8
100	0,1	-1	0,68	7,5	10,5	5,8
200	0,05	-2	2,8	7,5	11	2,2
100	0,05	-1	1,3	7,5	11	5,4

Characteristics for operation as phase inverter for modulating a push-pull amplifier  
 Caractéristiques d'utilisation comme tube inverseur de phase pour la modulation d'un amplificateur push-pull  
 Daten zur Verwendung als Phasenumkehrrohre zur Aussteuerung eines Gegentaktverstärkers

- A. Without negative feedback  
 Sans couplage inverse  
 Ohne Gegenkopplung

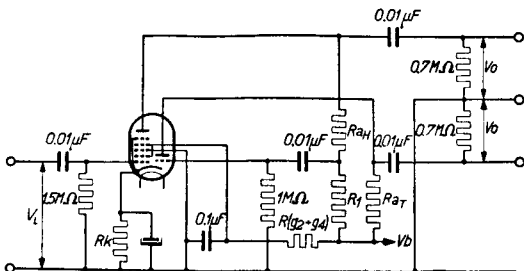
Limiting values of the heptode section  
 Caractéristiques limites de la partie heptode  
 Grenzdaten des Heptodenteiles

$V_{a0}$	= max.	550 V
$V_a$	= max.	250 V
$W_a$	= max.	1,5 W
$V_{g2, g4_0}$	= max.	550 V
$V_{g2, g4} (I_a = 3\text{mA})$	= max.	100 V
$V_{g2, g4} (I_a < 1\text{mA})$	= max.	250 V
$W_{g2, g4}$	= max.	1 W
$I_k$	= max.	15 mA
$V_{g1} (I_{g1} = +0,3\mu\text{A})$	= max.	-1,3 V
$V_{g3} (I_{g3} = +0,3\mu\text{A})$	= max.	-1,3 V
$R_{g1}$	= max.	3 M $\Omega$
$R_{g3}$	= max.	3 M $\Omega$
$R_{kf}$	= max.	20 k $\Omega$
$V_{kf}$	= max.	150 V

Limiting values of the triode section  
 Caractéristiques limites de la partie triode  
 Grenzdaten des Triodenteiles

$V_{a0}$	= max.	550 V
$V_a$	= max.	175 V
$W_a$	= max.	0,5 W
$V_g (I_g = +0,3\mu\text{A})$	= max.	-1,3 V
$R_g$	= max.	3 M $\Omega$





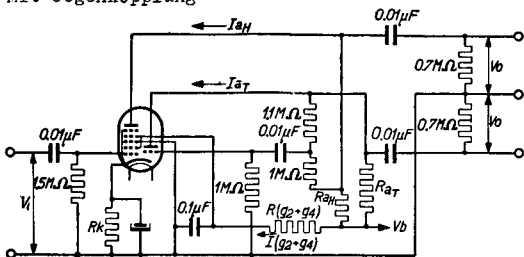
- 1)  $R_k = 750\Omega$ ;  $R_{aH} = 0,2M\Omega$ ;  $R_L = 16k\Omega$ ;  $R_{aT} = 0,1M\Omega$ ;  $R_{g2+g4} = 0,2M\Omega$

$V_b$ (V)	$I_{aH}+I_{aT}$ (mA)	$I_{g2+g4}$ (mA)	$V_o$ ( $V_{eff}$ )	$\frac{V_o}{V_i}$	$d_{tot}$ (%)
200	2,0	0,75	10	90	1,4
100	1,0	0,38	10	70	6,0

- 2)  $R_k = 500\Omega$ ;  $R_{aH} = 0,1M\Omega$ ;  $R_L = 8k\Omega$ ;  $R_{aT} = 0,1M\Omega$ ;  $R_{g2+g4} = 0,1M\Omega$

$V_b$ (V)	$I_{aH}+I_{aT}$ (mA)	$I_{g2+g4}$ (mA)	$V_o$ ( $V_{eff}$ )	$\frac{V_o}{V_i}$	$d_{tot}$ (%)
200	2,7	1,36	10	80	1,4
100	1,2	0,66	10	60	4,5

- B. With negative feedback  
Avec couplage inverse  
Mit Gegenkopplung



*"Miniwatt"*

- 1)  $R_k = 700 \Omega$ ;  $R_{aH} = 0,2 \text{ M}\Omega$ ;  $R_{g2+g4} = 0,18 \text{ M}\Omega$ ;  
 $R_{aT} = 0,1 \text{ M}\Omega$

$V_b$ (V)	$I_{aH}+I_{aT}$ (mA)	$I_{g2+g4}$ (mA)	$V_o$ ( $V_{eff}$ )	$\frac{V_o}{V_i}$	$d_{tot}$ (%)
200	2,1	0,8	10	75	2,5
100	1,1	0,4	10	65	3,1

- 2)  $R_k = 500 \Omega$ ;  $R_{aH} = 0,1 \text{ M}\Omega$ ;  $R_{g2} + g_4 = 0,1 \text{ M}\Omega$ ;  
 $R_{aT} = 0,1 \text{ M}\Omega$

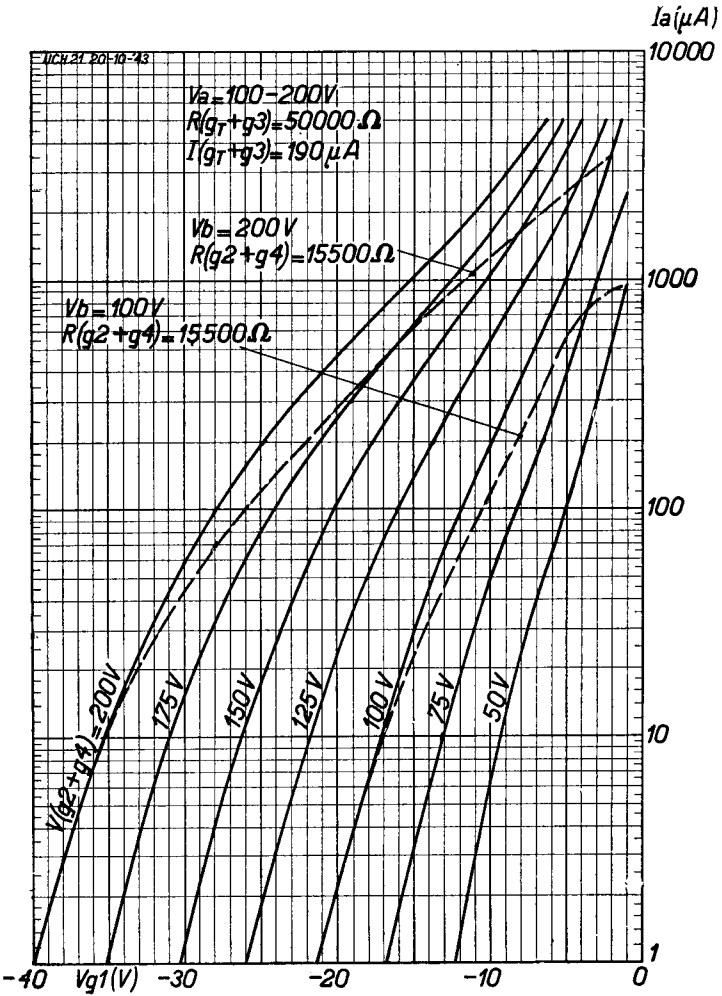
$V_b$ (V)	$I_{aH}+I_{aT}$ (mA)	$I_{g2+g4}$ (mA)	$V_o$ ( $V_{eff}$ )	$\frac{V_o}{V_i}$	$d_{tot}$ (%)
200	2,7	1,3	10	70	2,3
100	1,3	0,65	10	55	2,4

Limiting values of the heptode section  
 Caractéristiques limites de la partie heptode  
 Grenzdaten des Heptodenteiles

$V_{a_o} = \text{max. } 550 \text{ V}$	$  V(g_2+g_4)_o$	$= \text{max. } 550 \text{ V}$
$V_a = \text{max. } 250 \text{ V}$	$  V_{g_2+g_4} (I_a=3\text{mA})$	$= \text{max. } 100 \text{ V}$
$W_a = \text{max. } 1,5 \text{ W}$	$  V_{g_2+g_4} (I_a<1\text{mA})$	$= \text{max. } 250 \text{ V}$
$R_{g1} = \text{max. } 3 \text{ M}\Omega$	$  W_{g_2+g_4}$	$= \text{max. } 1 \text{ W}$
$R_{g3} = \text{max. } 3 \text{ M}\Omega$	$  V_{g1} (I_{g1}=+0,3\mu\text{A})$	$= \text{max. } -1,3 \text{ V}$
$R_{fk} = \text{max. } 20 \text{ k}\Omega$	$  V_{g3} (I_{g3}=+0,3\mu\text{A})$	$= \text{max. } -1,3 \text{ V}$
$V_{fk} = \text{max. } 150 \text{ V}$	$  I_k$	$= \text{max. } 15 \text{ mA}$

Limiting values of the triode section  
 Caractéristiques limites de la partie triode  
 Grenzdaten des Triodenteiles

$V_{a_o}$	$= \text{max. } 550 \text{ V}$
$V_a$	$= \text{max. } 175 \text{ V}$
$W_a$	$= \text{max. } 0,5 \text{ W}$
$V_{g1} (I_{g1} = +0,3\mu\text{A})$	$= \text{max. } -1,3 \text{ V}$
$R_{g2}$	$= \text{max. } 3 \text{ M}\Omega$



46465

# "Miniwatt"

UCH 21

$S_c(\mu A/V)$

10000

1000

100

10

1

UCH 21 20-10-43

$V_a = 100 - 200 V$   
 $R(g_7 + g_3) = 50000 \Omega$   
 $I(g_7 + g_3) = 190 \mu A$

$V_b = 200 V$   
 $R(g_2 + g_4) = 15500 \Omega$

$V_b = 100 V$   
 $R(g_2 + g_4) = 15500 \Omega$

$V(g_2 + g_4) = 200 V$   
175 V  
150 V  
125 V  
100 V  
75 V  
50 V

-40  $V_{g1}(V)$  -30 -20 -10 0

46464

24.4.7947

7/5

UCH 21

"Miniwatt"

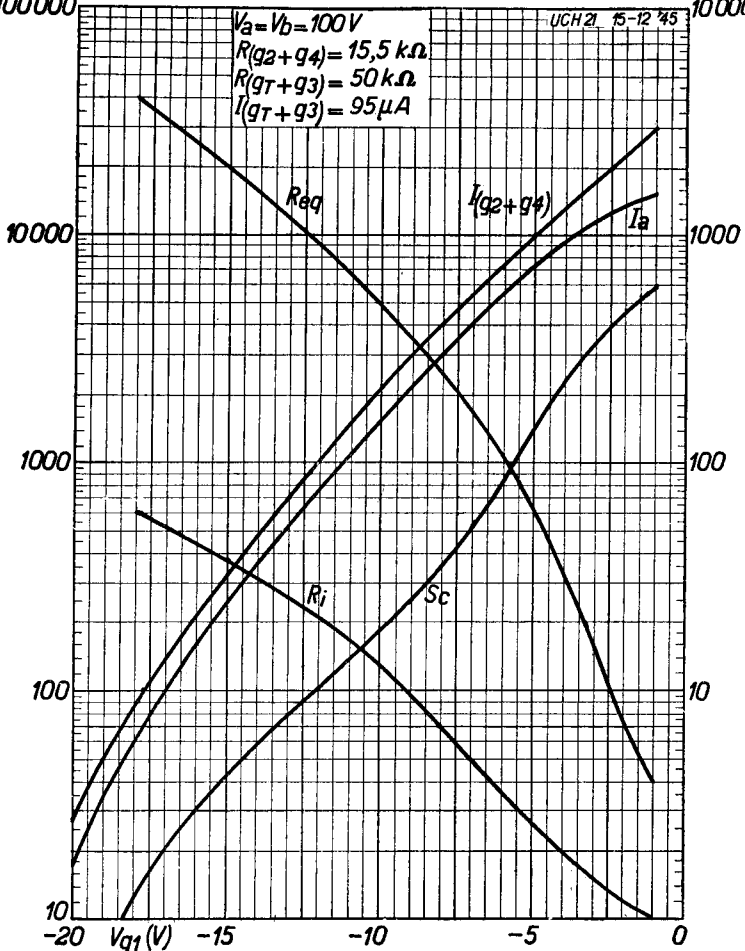
$I_a$   
 $I(g_2+g_4)$  }  $(\mu A)$   
 $S_c$   $(\mu A/V)$   
 $R_i$   $(M\Omega)$

$R_{eq}$   $(k\Omega)$   
 100000

10000

$V_a = V_b = 100V$   
 $R(g_2+g_4) = 15,5 k\Omega$   
 $R(g_T+g_3) = 50 k\Omega$   
 $I(g_T+g_3) = 95 \mu A$

UCH 21 15-12 45



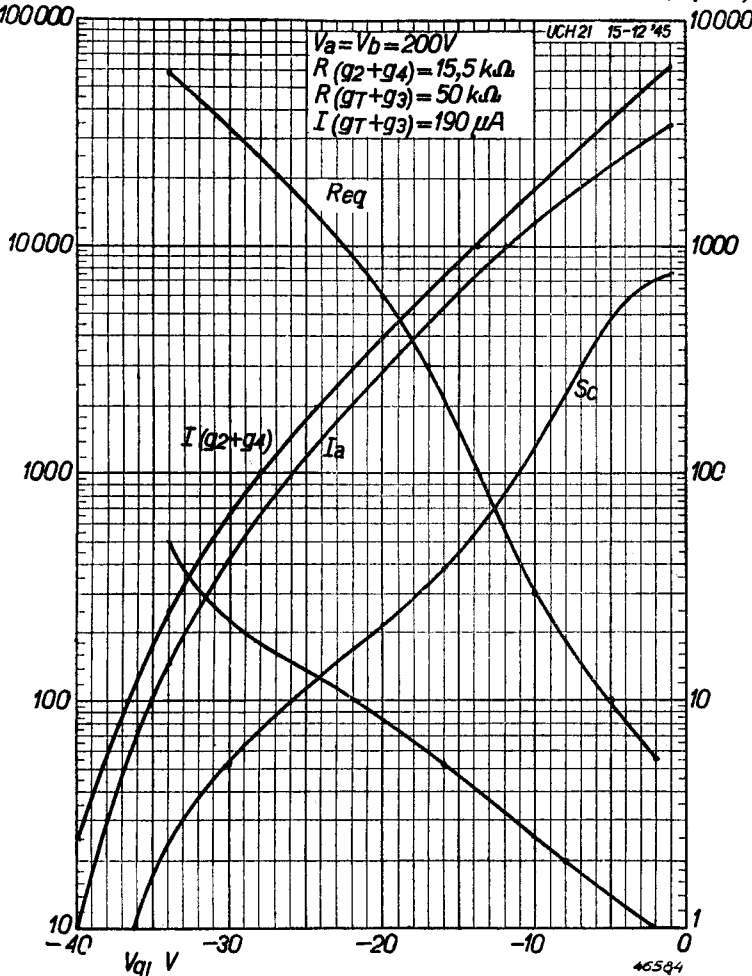
46581

# "Miniwatt"

**UCH 21**

$I_a$  ( $\mu A$ )  
 $I(g_2+g_4)$  ( $\mu A$ )  
 $S_c$  ( $\mu A/V$ )  
 $R_j$  ( $M\Omega$ )

$R_{eq}$  ( $k\Omega$ )



UCH 21

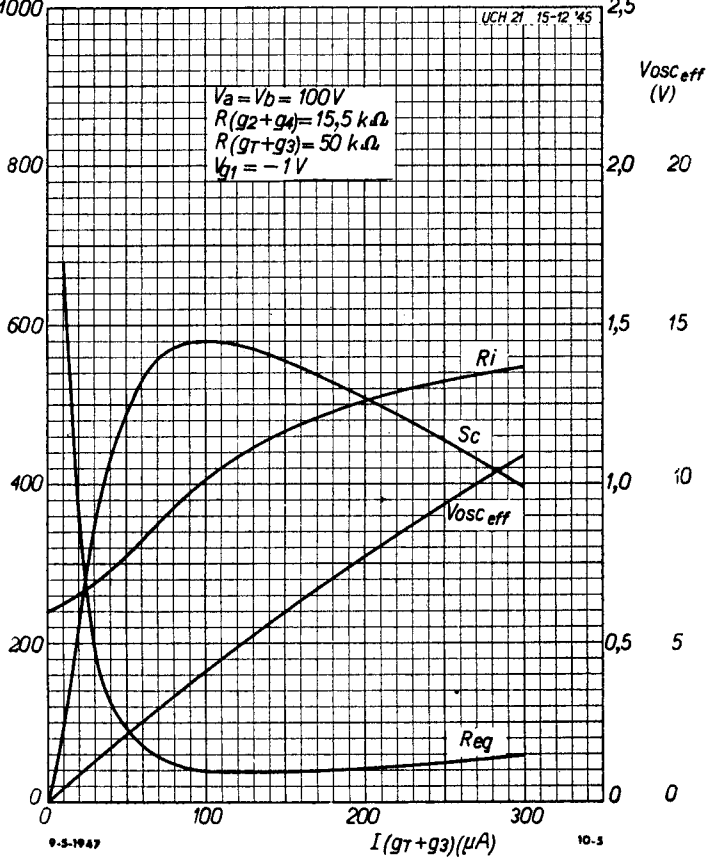
# "Miniwatt"

$Reg(\Omega) \times 10^{-3}$   
 $Sc(\mu A/V)$   
1000

$Ri(M.\Omega)$   
2,5

$Vosc\ eff$   
(V)

$V_a = V_b = 100V$   
 $R(g_2 + g_4) = 15,5 k\Omega$   
 $R(g_T + g_3) = 50 k\Omega$   
 $V_{g1} = -1V$



9-5-1947

10-3



# Miniwatt

**UCH 21**

$R_{eq}$  ( $k\Omega$ )  
 $S_c$  ( $\mu A/V$ )

$R_i$  ( $M\Omega$ )

1200

UCH 21 15-12'45

3,0

1000

$V_a = V_b = 200V$   
 $R(g_2 + g_4) = 15,5 k\Omega$   
 $R(g_T + g_3) = 50 k\Omega$   
 $V_{g1} = -2V$

2,5

$V_{osc\ eff}$   
(V)

800

2,0

20

600

$S_c$

$R_i$

$V_{osc\ eff}$

$R_{eq}$

400

1,5

15

200

1,0

10

0

0

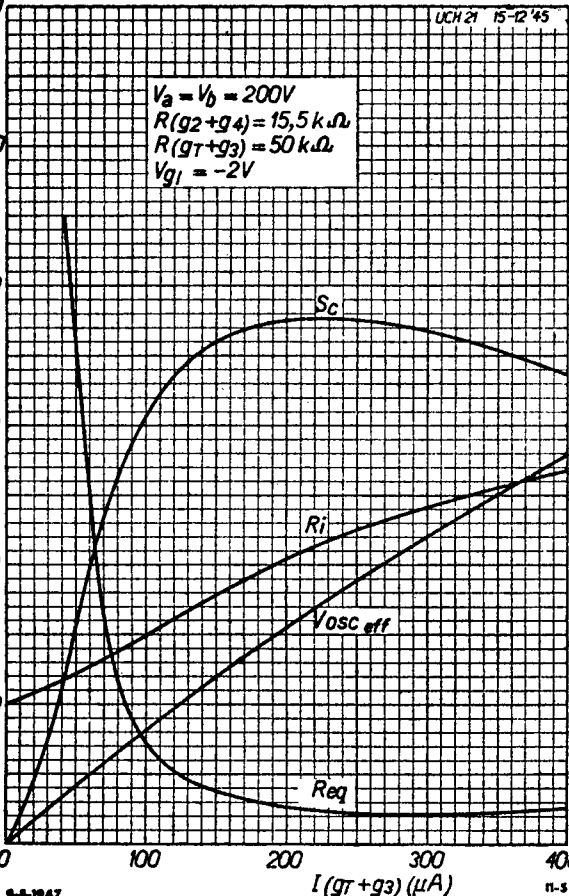
0

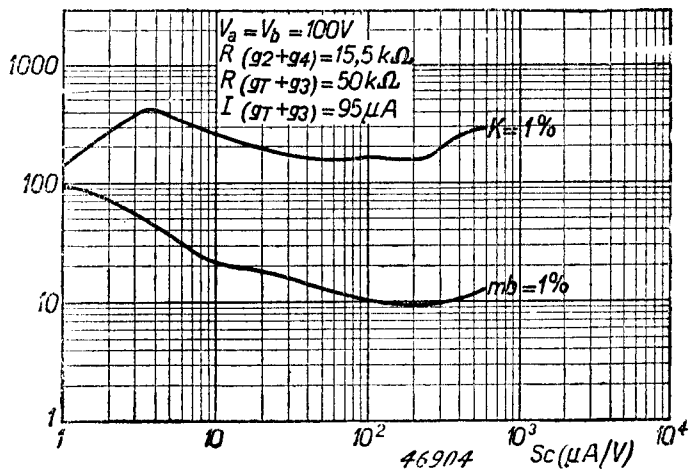
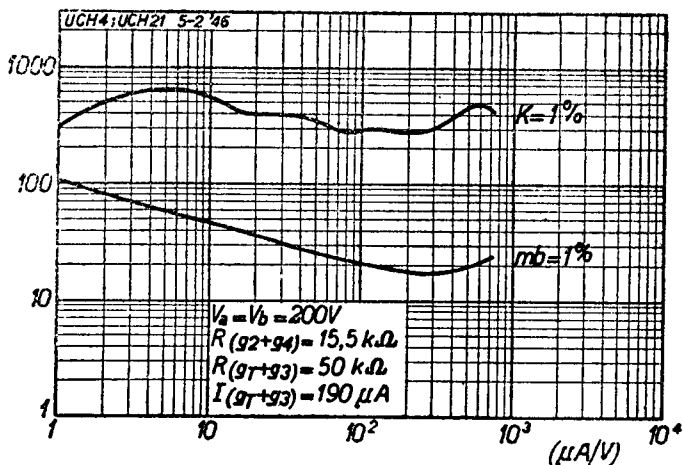
0-8-1947

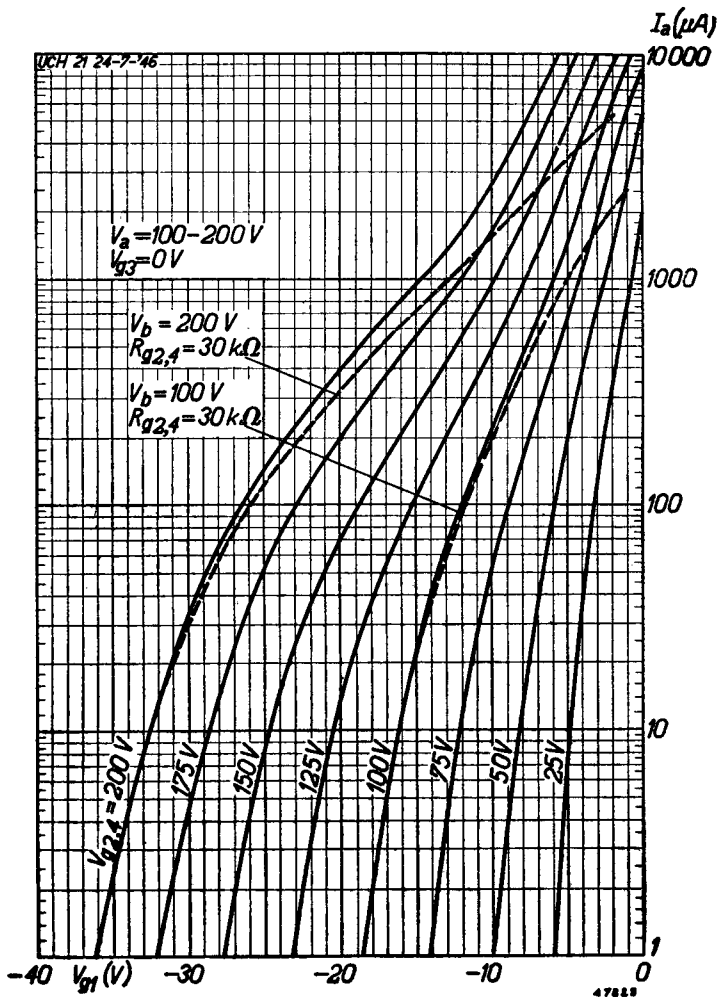
$I(g_T + g_3)$  ( $\mu A$ )

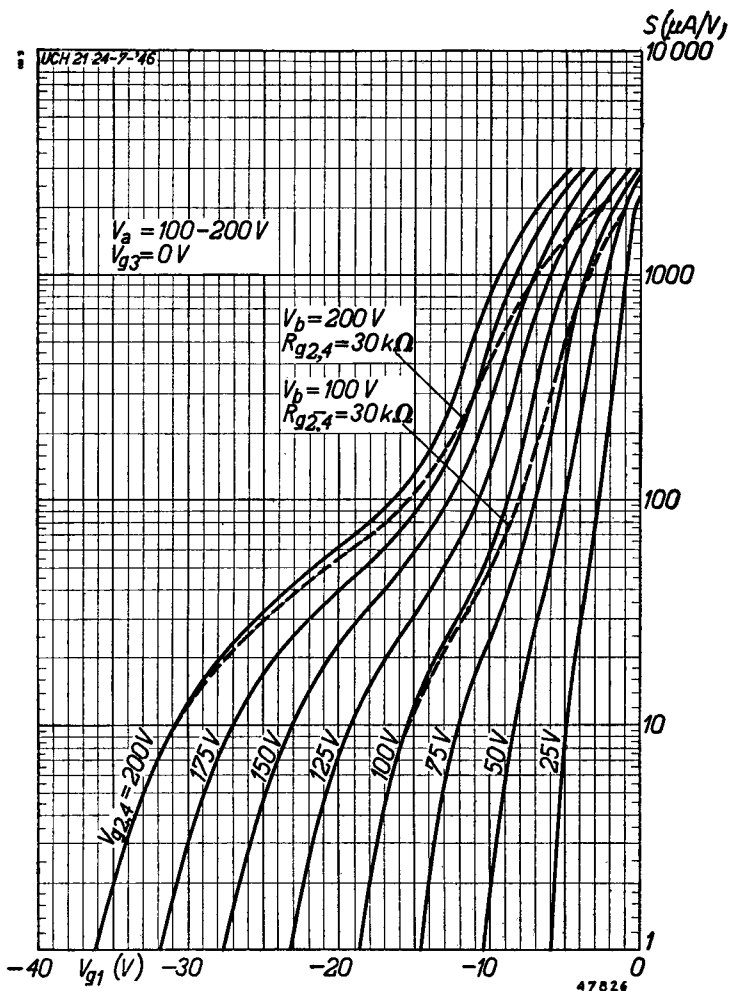
53475

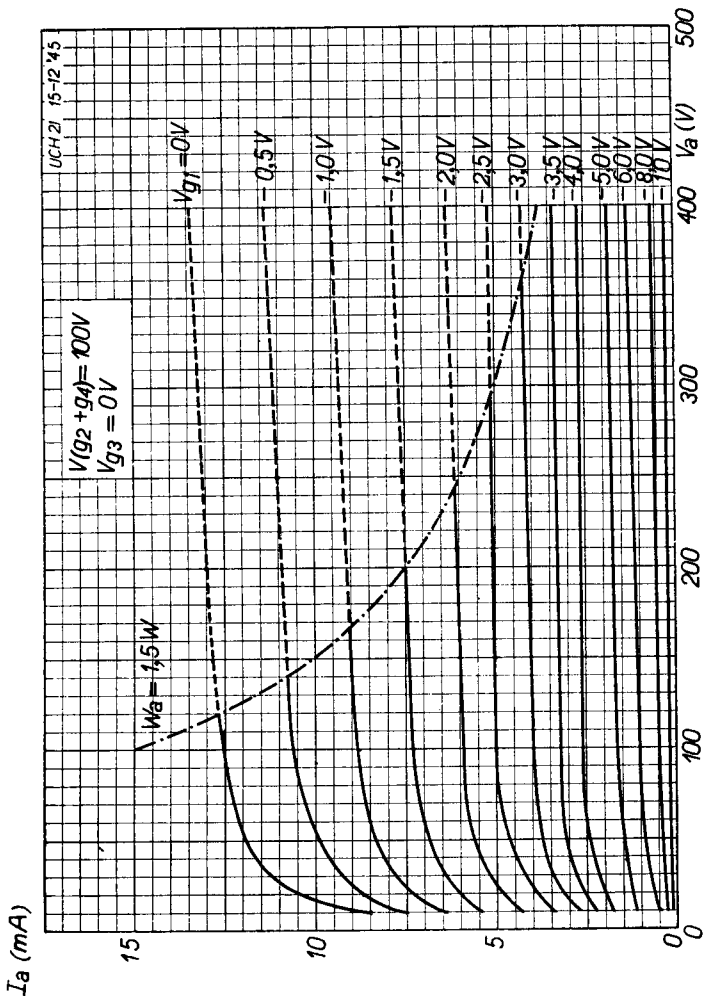
n-s



$V_i$  (mVeff) $V_i$  (mVeff)

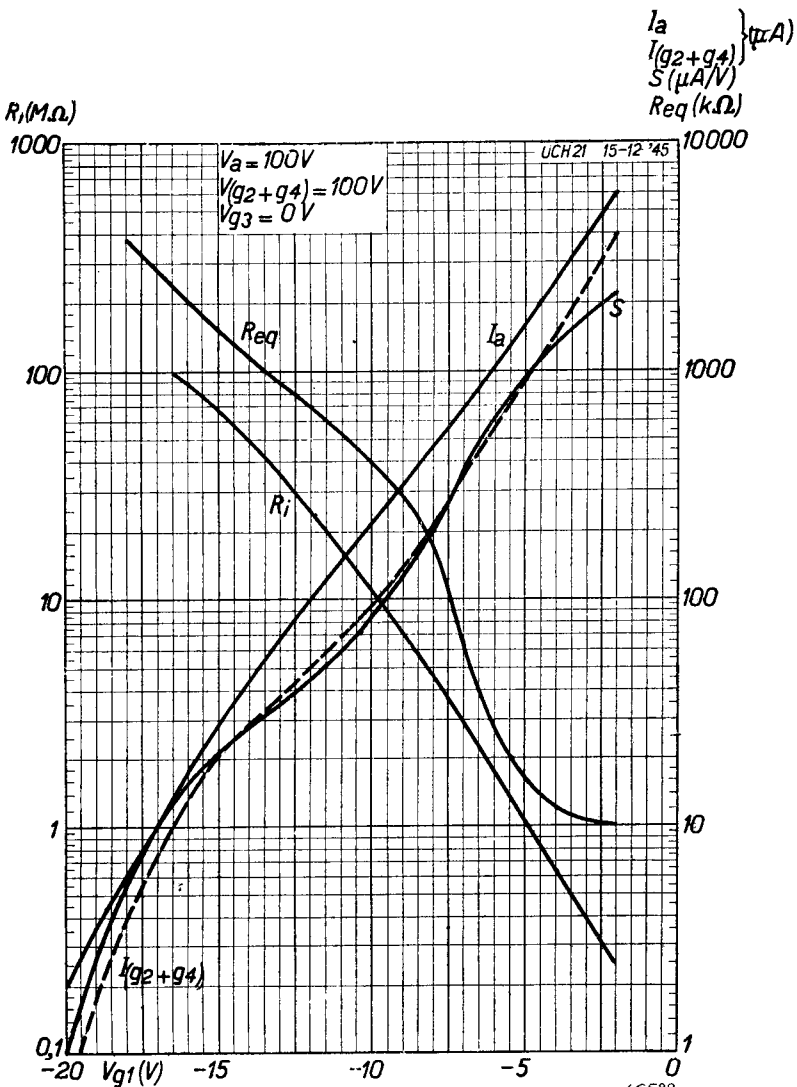






UCH 21

"Miniwatt"

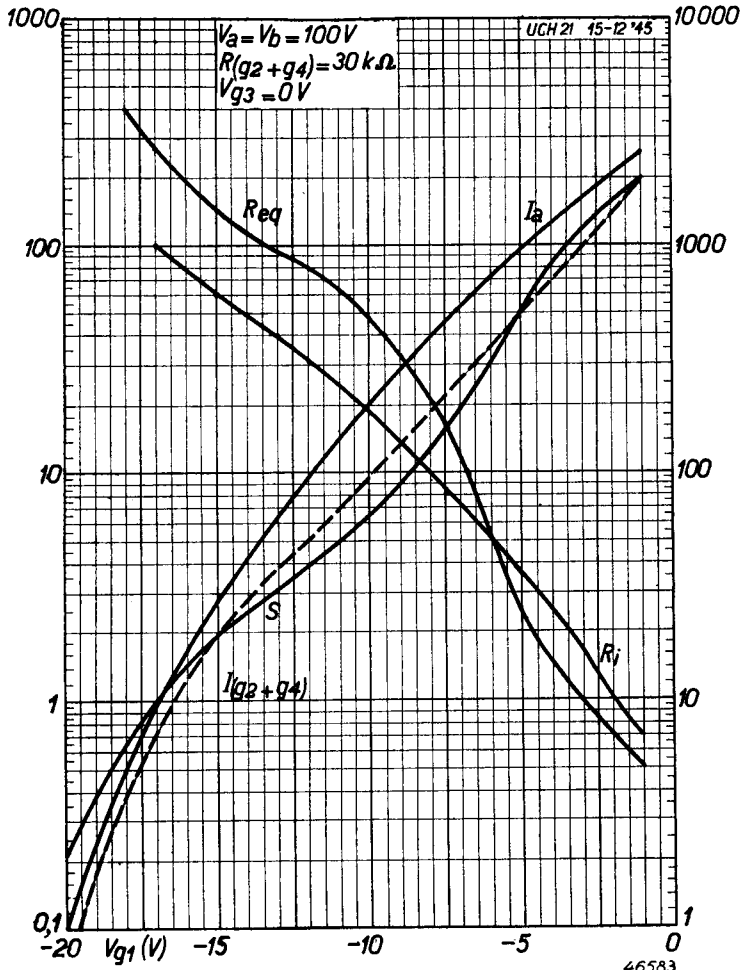


# "Miniwatt"

UCH21

$I_a$   
 $I(g_2 + g_4)$  } ( $\mu A$ )  
 $S$  ( $\mu A/V$ )  
 $R_{eq}$  ( $k\Omega$ )

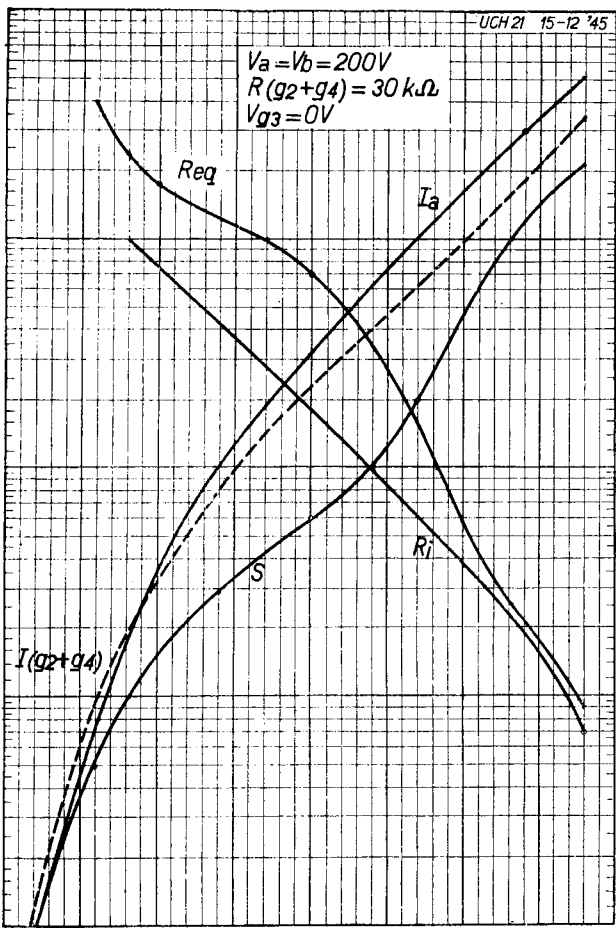
$R_i$  ( $M\Omega$ )



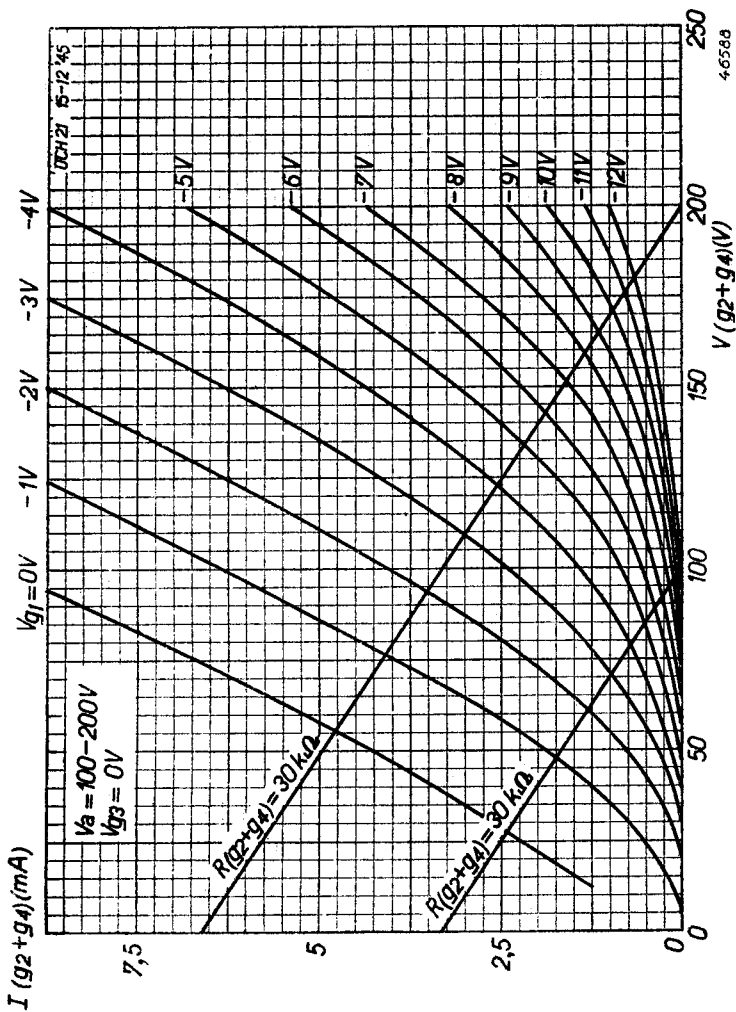
UCH 21

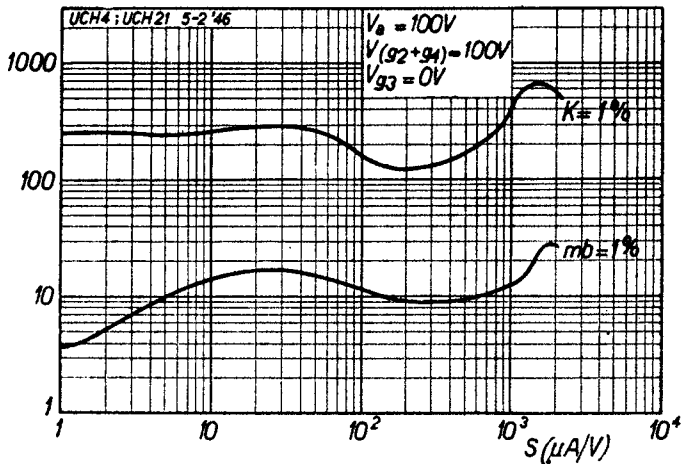
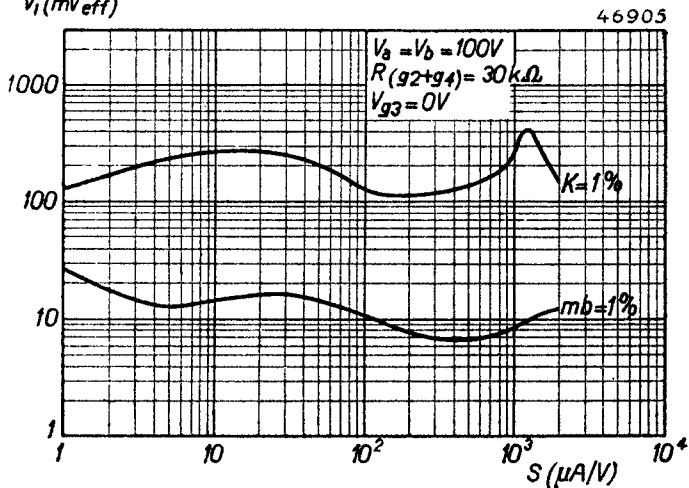
# "Miniwatt"

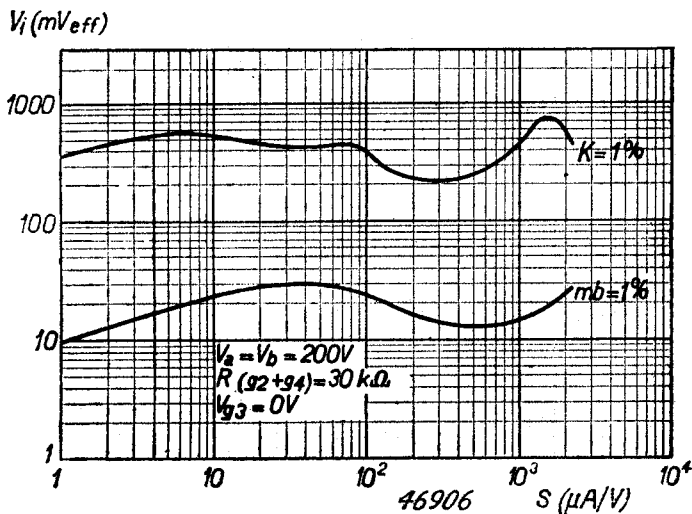
$I_a$   
 $I(g_2+g_4)$  }  $\mu A$   
 $S$  ( $\mu A/V$ )  
 $R_i \times 10^{-1}$  ( $M.\Omega$ )  
 $R_{eq}$  ( $k\Omega$ )







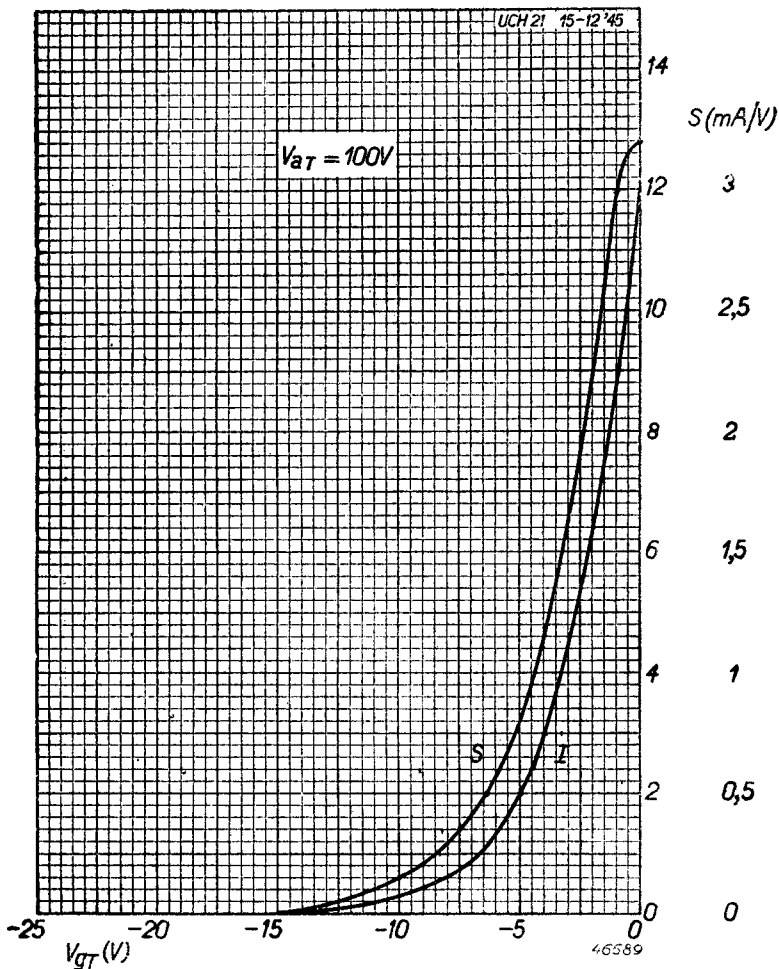
**UCH 21***"Miniwatt"* $V_i$  (mV<sub>eff</sub>) $V_i$  (mV<sub>eff</sub>)



UCH 21

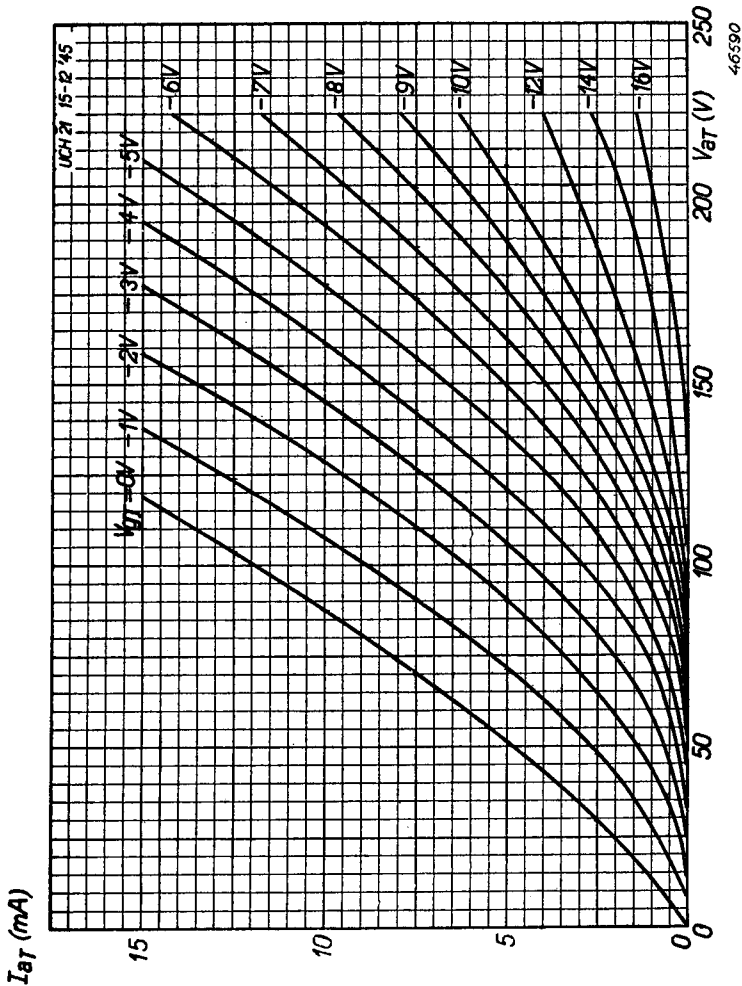
"Miniwatt"

$I_a$  (mA)



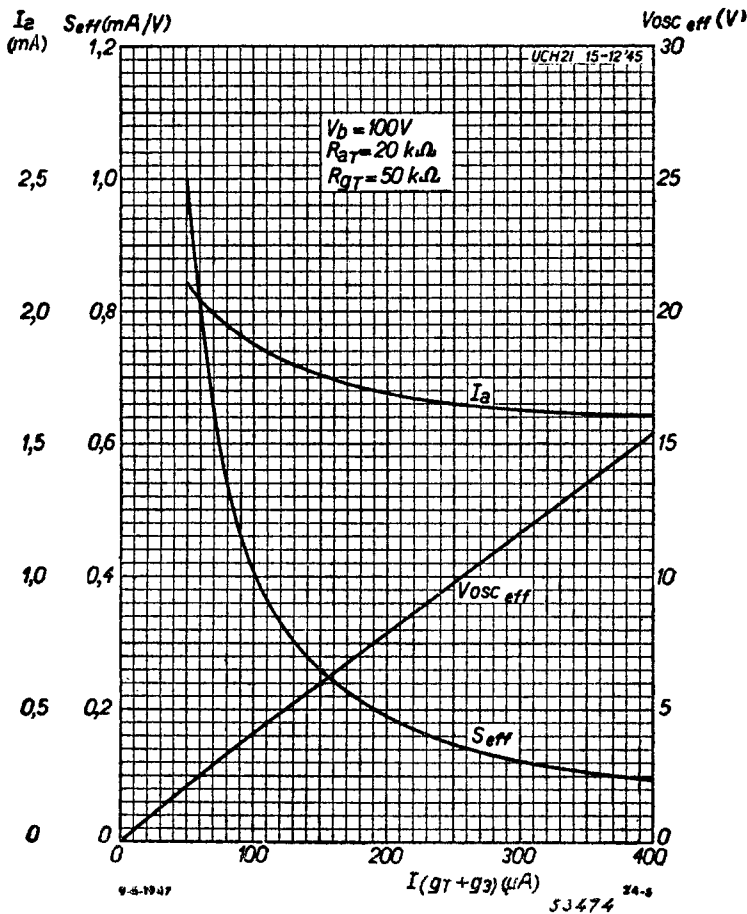
# "Miniwatt"

## UCH 21



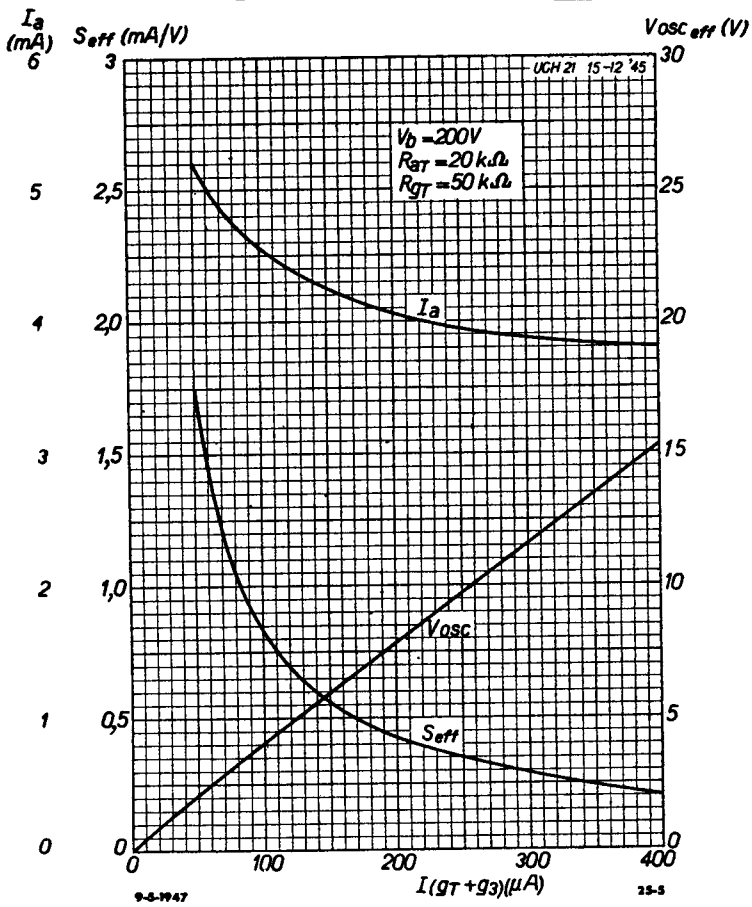
24/4/1947

23/5

**UCH 21***"Miniwatt"*

# "Miniwatt"

**UCH 21**



**PHILIPS**

*Electronic  
Tube*

**HANDBOOK**

<b>page</b>	<b>UCH21 sheet</b>	<b>date</b>
1	1	1948.08.18
2	1	1953.12.12
3	2	1948.08.18
4	2	1953.12.12
5	3	1948.08.18
6	3	1953.12.12
7	4	1948.08.18
8	4	1953.12.12
9	5	1948.08.18
10	-	1948.10.12
11	5a	1948.08.18
12	6	1948.10.12
13	7	1947.04.24
14	8	1947.04.24
15	9	1947.04.24
16	10	1947.05.09
17	11	1947.05.09
18	12	1947.04.24
19	13	1947.04.24



20	14	1947.04.24
21	15	1947.04.24
22	16	1947.04.24
23	17	1947.04.24
24	18	1947.04.24
25	19	1947.04.24
26	20	1947.04.24
27	21	1947.04.24
28	22	1947.04.24
29	23	1947.04.24
30	24	1947.05.09
31	25	1947.05.09
32, 33	FP	2000-07-01